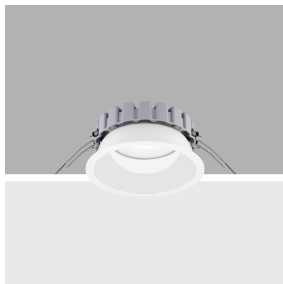


Ultimo aggiornamento delle informazioni: Aprile 2025

Configurazione di prodotto: QF61.01

QF61.01: Ø 163 mm - neutral white - DALI - Bianco



Codice prodotto

QF61.01: Ø 163 mm - neutral white - DALI - Bianco

Descrizione tecnica

Apparecchio rotondo fisso finalizzato all'utilizzo di sorgente LED con tecnologia C.o.B. Versione con falda per installazione ad appoggio. Riflettore metallizzato con vapori di alluminio sottovuoto con strato di protezione antigraffio. Dissipatore realizzato in alluminio pressofuso verniciato grigio. Prodotto completo di LED in tonalità di colore neutral white (4000K). Emissione luminosa luce generale.

Installazione

Ad incasso tramite molle di torsione che consentono una facile installazione su controsoffitti con spessore a partire da 1 mm fino a 20 mm.

Colore

Bianco (01)

Peso (Kg)

0.68

Montaggio

a soffitto

Cablaggio

prodotto completo di componentistica DALI

Note

Versioni TPa disponibili su richiesta, contattare iGuzzini per maggiori informazioni

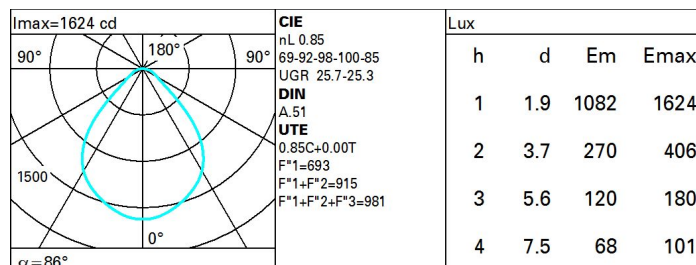
Soddisfa EN60598-1 e relative note



Dati tecnici

| | | | |
|--|------|------------------------------------|---------------------------------|
| Im di sistema: | 2890 | Temperatura colore [K]: | 4000 |
| W di sistema: | 24.5 | MacAdam Step: | 2 |
| Im di sorgente: | 3400 | Life Time LED 1: | > 50,000h - L90 - B10 (Ta 25°C) |
| W di sorgente: | 21 | Codice lampada: | LED |
| Efficienza luminosa (lm/W, dati di sistema): | 118 | Numero di lampade per vano ottico: | 1 |
| Im in modalità emergenza: | - | Codice ZVEI: | LED |
| Flusso totale emesso a 90° o superiore [Lm]: | 0 | Numero di vani ottici: | 1 |
| Light Output Ratio (L.O.R.) [%]: | 85 | Control: | DALI-2 |
| CRI (minimo): | 80 | | |

Polare



Coefficienti di utilizzazione

| R | 77 | 75 | 73 | 71 | 55 | 53 | 33 | 00 | DRR |
|------|----|----|----|----|----|----|----|----|-----|
| K0.8 | 65 | 58 | 53 | 49 | 57 | 52 | 52 | 47 | 56 |
| 1.0 | 70 | 63 | 59 | 55 | 62 | 58 | 57 | 53 | 62 |
| 1.5 | 77 | 72 | 68 | 65 | 70 | 67 | 66 | 62 | 73 |
| 2.0 | 81 | 77 | 74 | 71 | 75 | 73 | 72 | 68 | 80 |
| 2.5 | 83 | 80 | 77 | 75 | 78 | 76 | 75 | 71 | 84 |
| 3.0 | 85 | 82 | 80 | 78 | 80 | 79 | 77 | 74 | 87 |
| 4.0 | 87 | 84 | 83 | 81 | 83 | 81 | 80 | 77 | 90 |
| 5.0 | 88 | 86 | 84 | 83 | 84 | 83 | 81 | 78 | 92 |

Curva limite di luminanza

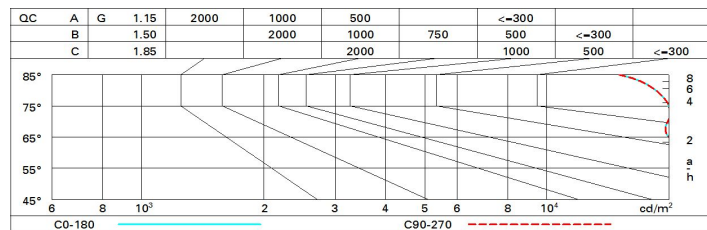


Diagramma UGR

| Corrected UGR values (at 3400 lm bare lamp luminous flux) | | | | | | | | | | | |
|---|------|---------------------|------|------|------|------|-------------------|------|------|------|------|
| Reflect.: ceil/cav walls work pl. Room dim x y | | viewed crosswise | | | | | viewed endwise | | | | |
| | | 0.70 | 0.70 | 0.50 | 0.50 | 0.30 | 0.70 | 0.70 | 0.50 | 0.50 | 0.30 |
| | | 0.50 | 0.30 | 0.50 | 0.30 | 0.30 | 0.50 | 0.30 | 0.50 | 0.30 | 0.30 |
| | | 0.20 | 0.20 | 0.20 | 0.20 | 0.20 | 0.20 | 0.20 | 0.20 | 0.20 | 0.20 |
| | | | | | | | | | | | |
| 2H | 2H | 23.7 | 24.6 | 24.0 | 24.8 | 25.1 | 23.7 | 24.6 | 24.0 | 24.8 | 25.1 |
| | 3H | 24.3 | 25.1 | 24.6 | 25.3 | 25.6 | 23.8 | 24.6 | 24.1 | 24.9 | 25.2 |
| | 4H | 24.6 | 25.3 | 24.9 | 25.6 | 26.0 | 23.8 | 24.6 | 24.2 | 24.9 | 25.2 |
| | 6H | 24.9 | 25.6 | 25.3 | 25.9 | 26.2 | 23.8 | 24.5 | 24.2 | 24.8 | 25.2 |
| | 8H | 25.0 | 25.7 | 25.4 | 26.0 | 26.3 | 23.8 | 24.5 | 24.2 | 24.8 | 25.2 |
| | 12H | 25.0 | 25.7 | 25.4 | 26.0 | 26.4 | 23.8 | 24.4 | 24.2 | 24.8 | 25.1 |
| | | | | | | | | | | | |
| 4H | 2H | 23.8 | 24.6 | 24.2 | 24.9 | 25.2 | 24.6 | 25.3 | 24.9 | 25.6 | 26.0 |
| | 3H | 24.6 | 25.3 | 25.0 | 25.6 | 26.0 | 24.9 | 25.6 | 25.3 | 25.9 | 26.3 |
| | 4H | 25.1 | 25.7 | 25.5 | 26.0 | 26.4 | 25.1 | 25.7 | 25.5 | 26.0 | 26.4 |
| | 6H | 25.5 | 26.0 | 26.0 | 26.4 | 26.9 | 25.2 | 25.7 | 25.7 | 26.1 | 26.6 |
| | 8H | 25.7 | 26.2 | 26.1 | 26.6 | 27.0 | 25.3 | 25.7 | 25.7 | 26.2 | 26.6 |
| | 12H | 25.8 | 26.2 | 26.2 | 26.6 | 27.1 | 25.3 | 25.7 | 25.7 | 26.1 | 26.6 |
| | | | | | | | | | | | |
| 8H | 4H | 25.3 | 25.7 | 25.7 | 26.2 | 26.6 | 25.7 | 26.2 | 26.1 | 26.6 | 27.0 |
| | 6H | 25.9 | 26.2 | 26.3 | 26.7 | 27.2 | 26.0 | 26.3 | 26.4 | 26.8 | 27.3 |
| | 8H | 26.1 | 26.4 | 26.6 | 26.9 | 27.4 | 26.1 | 26.4 | 26.6 | 26.9 | 27.4 |
| | 12H | 26.2 | 26.5 | 26.7 | 27.0 | 27.5 | 26.1 | 26.4 | 26.6 | 26.9 | 27.4 |
| | | | | | | | | | | | |
| 12H | 4H | 25.3 | 25.7 | 25.7 | 26.1 | 26.6 | 25.8 | 26.2 | 26.2 | 26.6 | 27.1 |
| | 6H | 25.9 | 26.2 | 26.4 | 26.7 | 27.2 | 26.1 | 26.4 | 26.6 | 26.9 | 27.4 |
| | 8H | 26.1 | 26.4 | 26.6 | 26.9 | 27.4 | 26.2 | 26.5 | 26.7 | 27.0 | 27.5 |
| | | | | | | | | | | | |
| Variations with the observer position at spacing: | | | | | | | | | | | |
| S = | 1.0H | 0.6 / -0.8 | | | | | 0.6 / -0.8 | | | | |
| | 1.5H | 1.5 / -1.2 | | | | | 1.5 / -1.2 | | | | |
| | 2.0H | 2.7 / -1.4 | | | | | 2.7 / -1.4 | | | | |